

ФЕДЕРАЛЬНОЕ АГЕНТСТВО ПО ОБРАЗОВАНИЮ
РОССИЙСКОЙ ФЕДЕРАЦИИ

Федеральное государственное автономное образовательное
учреждение высшего образования «Московский
физико-технический институт» (Национальный
исследовательский университет)

Институт Теоретической Физики имени Ландау

Кафедра проблем теоретической физики

Выпускная квалификационная работа на степень бакалавра

**Квантовая поправка к проводимости на
конечном волновом векторе**

Выполнил: Борисов Денис Альбертович

Научный руководитель: д. ф. - м. н. Бурмистров Игорь Сергеевич

г. Москва
2023 год

Содержание

| | | |
|---|---|----|
| 1 | Аннотация | 1 |
| 2 | Введение | 1 |
| 3 | Получение выражений на Хиками-Боксы. | 5 |
| 4 | Поправка к проводимости на $p = 0$ | 11 |
| 5 | Поправка к проводимости на конечном p | 14 |
| 6 | Итоговые результаты и вывод: | 20 |

1 Аннотация

Данная работа является продолжением развития одного из сюжетов статьи Островского, Такаямы, Мутталиба и Вёльфле "Scale-dependent correction to the dynamical conductivity of a disordered system at unitary symmetry"(1). В указанной статье было приведено выражение на поправку к проводимости на нулевом импульсе двумерного электронного газа с примесями. В свою очередь, я выражаю квадратичные по импульсу поправки к этому результату. В частности, было показано, что квадратичная поправка по импульсу имеет инфракрасную расходимость вида $\log^2 \omega$, что расходится даже быстрее чем уже известный результат поправки на нулевом волновом векторе вида $\delta\sigma(\mathbf{p} = 0) \propto \log \omega$. Замечу, что ряд полученных вычислений легко обобщается на размерности $d \leq 2$ в силу проведенных вычислений в произвольной размерности в указанной области. Особый интерес к квадратичной поправке обусловлен связью второй производной проводимости по импульсу и тензора вязкости в системах с галилеевской инвариантностью. Известно, что в приближении Друде данная связь выполняется, несмотря на наличие стационарных примесей, нарушающих инвариантность системы. Получение же квантовой поправки даст нам возможность понять, сохранится ли интересующее нас соотношение.

2 Введение

В статье 1981 года "Anderson localization in a nonlinear -model"(2) Синобу Хиками по теории вомущений получил выражение на ведущие поправки к проводимости (также независимо были получены П. Горьковым, А. Ларкиным, Д. Е. Хмельницким (2)) выражающиеся через диаграммы, которые были

впоследствии названы Хиками-Боксами. В частности, в ведущую поправку к проводимости входят Хиками-Боксы четвертого (\mathbf{h}_4) и шестого (h_6) порядка, соединенные диффузорами - пропэгаторами диффузии. Также в статье Островского было указано о необходимости добавления к выражению диаграмм с одним диффузором h_2 . Тем не менее, было указано и то, что эти диаграммы нулевые в приближении, с которым мы будем работать. Потому мы не будем касаться данных однодиффузионных диаграмм, как и причин их происхождения, в работе.

Хиками-Боксы выражаются в терминах запаздывающих и опережающих крестовых функций Грина (функций Грина, усредненных по замороженному беспорядку) и примесных линий. Ниже будут изображены диаграммы на Хиками-Боксы, с которыми и ведется работа.

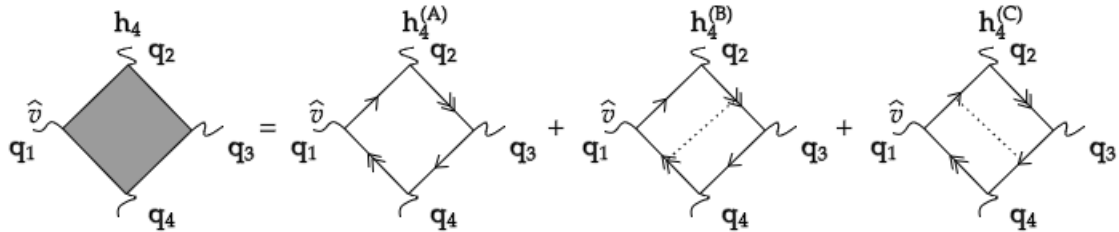


Рис. 1: Диаграммы дающие вклад в в четырех-вершинную векторную диаграмму \mathbf{h}_4 . Пунктирные линии представляют рассеяние на примесях. Стрелками и двойными стрелками указаны запаздывающие и опережающие функции Грина соответственно.

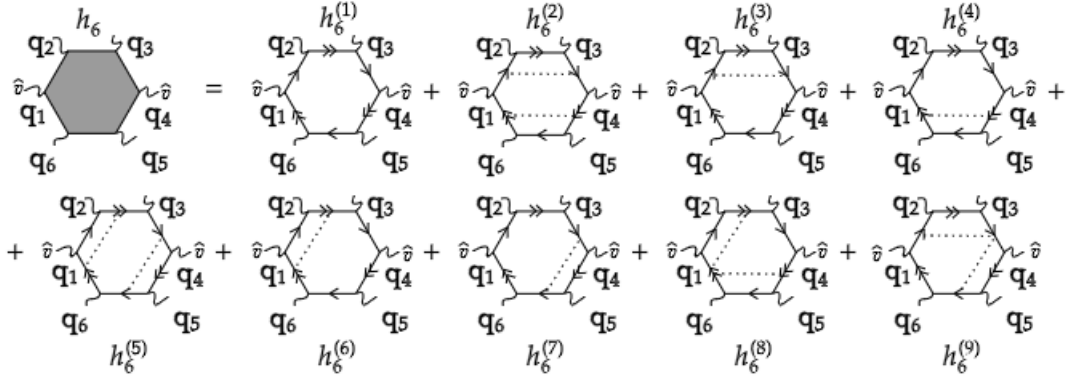


Рис. 2: Диаграммы дающие вклад в шести-вершинную матричную диаграмму h_6 соответственно.

Участвующие в этом выражении запаздывающие и опережающие функции Грина электрона имеют вид:

$$G^R(\varepsilon, \mathbf{p}) = [G^A(\varepsilon, \mathbf{p})^*] = \frac{1}{\varepsilon - \xi(\mathbf{p}) + \frac{i}{2\tau}}, \quad \frac{1}{\tau} = 2\pi\nu_0 n u_0^2, \quad (1)$$

где u_0 - постоянная взаимодействия контактного потенциала примесей, n - концентрация примесей, а τ - время релаксации частицы. В это же время, диаграммы дающие вклад в поправку к проводимости имеют вид:

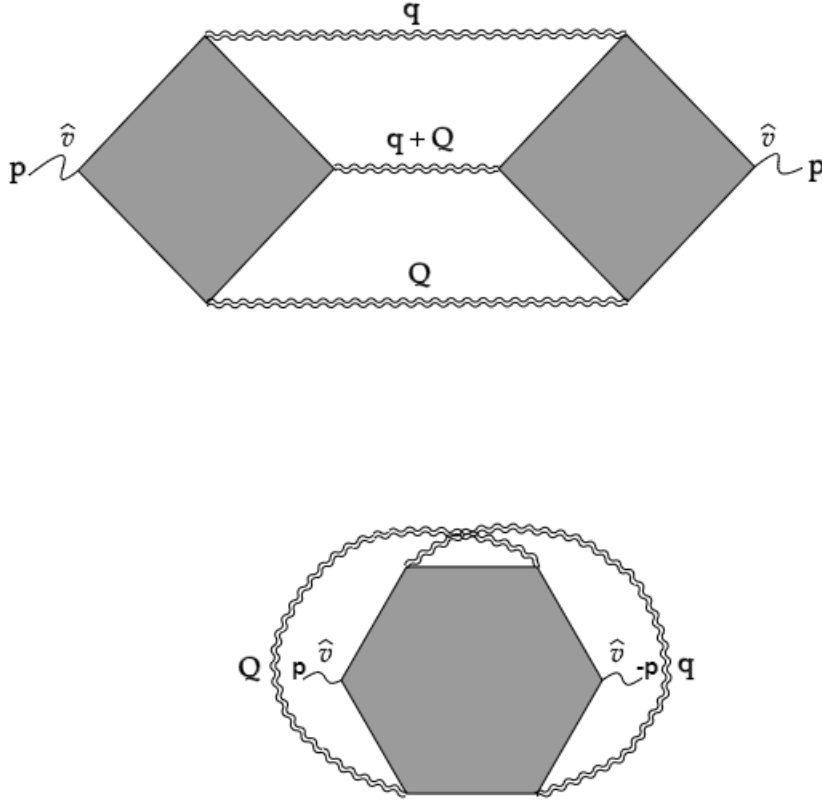


Рис. 3: Диаграммы дающие вклад в поправку к проводимости. Закрашенные квадраты представляют собой \mathbf{h}_4 и \mathbf{h}_6 соответственно. Волнистая линия представляет собой диффузон D .

В общем случае указанный здесь пропэгатор диффузии D может быть получен суммированием лестничных диаграмм и имеет вид:

$$D(\mathbf{q}, \omega) = \frac{nu_0^2}{1 - nu_0^2 \Pi(\mathbf{q}, \omega)}, \quad (2)$$

где

$$\Pi(\mathbf{q}, \omega) = \frac{1}{V} \sum_{\mathbf{k}} G_{\mathbf{k}+\mathbf{q}}^R(E_F + i\omega) G_{\mathbf{k}}^A(E_F) \quad (3)$$

Отметим, что в приближении малых импульсов и слабого беспорядка мы мо-

жем получить более простое выражение на диффузон:

$$D(\mathbf{q}, \omega) = \frac{1}{2\pi\nu_0\tau^2} \frac{1}{Dq^2 + \omega} \quad (4)$$

Таким образом, мы можем записать данное выражение на поправку к проводимости:

$$\mathcal{F}_\omega(\mathbf{q}, Q, p) = \mathcal{D}_\omega(Q) \left[h_6(\mathbf{q}, Q, p) + \mathcal{D}_\omega(\mathbf{q} + \mathbf{Q} - \mathbf{p}) h_4(\mathbf{q}, \mathbf{Q}, \mathbf{p}) h_4^\dagger(\mathbf{Q}, \mathbf{q}, \mathbf{p}) \right] \quad (5)$$

$$\sigma^{(2)}(\mathbf{p}) = \frac{1}{2\pi} \int \frac{d^d \mathbf{q}}{(2\pi)^d} \mathcal{D}_\omega(\mathbf{q}) \int \frac{d^d \mathbf{Q}}{(2\pi)^d} \mathcal{F}_\omega(\mathbf{q}, \mathbf{Q}, \mathbf{p}) \quad (6)$$

Сразу отметим, что мы полагаем, что $\hbar \equiv 1, e \equiv 1$. Для дальнейшей работы с указанными выше формулами требуется получить выражения на Хиками-Боксы, чем мы и займемся в последующем разделе.

3 Получение выражений на Хиками-Боксы.

Начнем с того, что запишем выражения на Хиками-Боксы, предварительно проинтегрировав их по импульсу. Сделать это несложно, если заметить, что интересующие нас низкочастотные эффекты в Ферми-газе, как правило, связаны с возбуждениями вблизи поверхности Ферми - в действительности, интеграл от комбинаций функций Грина в выражении на Хиками-Боксы будет набираться как раз в окрестности поверхности Ферми. Поэтому логично сделать ξ -приближение и проинтегрировать имеющиеся диаграммы по ξ , откуда мы получаем следующие выражения на Хиками-Боксы:

Начнем с выражений на шестивершинные Хиками-Боксы

$$h_6^{(1)} = 2\pi\tau^5 V_F^2 \nu_0 \left\langle \mathbf{n} \mathbf{n}^T \frac{6 - 8i\tau V_F \mathbf{n} (\mathbf{q}_2 + \mathbf{q}_4 + \mathbf{q}_6) - \tau^2 V_F^2 (3(\mathbf{n} \mathbf{q}_2)^2 - 2(\mathbf{n} \mathbf{q}_3)^2 + 2(\mathbf{n} \mathbf{q}_4)^2)}{(1 + i\tau V_F \mathbf{n} \mathbf{q}_1) (1 - i\tau V_F \mathbf{n} \mathbf{q}_2) (1 + i\tau V_F \mathbf{n} \mathbf{q}_3) (1 - i\tau V_F \mathbf{n} \mathbf{q}_4)} \right. \\ \left. \frac{-3\mathbf{n} \mathbf{q}_4 \mathbf{n} \mathbf{q}_5 - 2(\mathbf{q}_5 \mathbf{n})^2 - \mathbf{n} \mathbf{q}_2 \cdot \mathbf{n} (2\mathbf{q}_3 - 7\mathbf{q}_4 + \mathbf{q}_5 - 8\mathbf{q}_6) + \mathbf{n} \mathbf{q}_6 \times (7\mathbf{q}_4 - 2\mathbf{q}_5) \mathbf{n}}{(1 + i\tau V_F \mathbf{n} \mathbf{q}_5) (1 - i\tau V_F \mathbf{n} \mathbf{q}_6) (1 - i\tau V_F \mathbf{n} (\mathbf{q}_2 + \mathbf{q}_3 + \mathbf{q}_4))} \right. \\ \left. \frac{+3(\mathbf{n} \mathbf{q}_6)^2 - \mathbf{n} \mathbf{q}_3 \cdot \mathbf{n} (3\mathbf{q}_4 + 2\mathbf{q}_5 + \mathbf{q}_6)}{(1 - i\tau V_F \mathbf{n} (\mathbf{q}_1 + \mathbf{q}_2 + \mathbf{q}_6)) (1 - i\tau V_F \mathbf{n} (\mathbf{q}_4 + \mathbf{q}_5 + \mathbf{q}_6))} \right\rangle \quad (7)$$

$$h_6^{(2)} = 2\pi\tau^5 V_F^2 \nu_0 \times \left\langle \mathbf{nn}^\top \frac{2 + i\tau V_F \mathbf{n} (\mathbf{q}_1 - \mathbf{q}_4)}{(1 + i\tau V_F \mathbf{nq}_1) (1 - i\tau V_F \mathbf{nq}_4)} \times \frac{1}{(1 + i\tau V_F \mathbf{n} (\mathbf{q}_1 + \mathbf{q}_5 + \mathbf{q}_6)) t(1 - i\tau V_F \mathbf{n} (\mathbf{q}_4 + \mathbf{q}_5 + \mathbf{q}_6))} \right\rangle \cdot \left\langle \frac{1}{1 - i\tau V_F \mathbf{nq}_2} \frac{1}{1 + i\tau V_F \mathbf{nq}_3} \right\rangle \left\langle \frac{1}{1 - i\tau V_F \mathbf{nq}_6} \frac{1}{1 + i\tau V_F \mathbf{nq}_5} \right\rangle \quad (8)$$

$$h_6^{(3)} = 2\pi\tau^5 V_F^2 \nu_0 \left\langle \mathbf{nn}^\top \frac{-3 + i\tau V_F [-\mathbf{nq}_5 + \mathbf{nq}_4 (2 + i\tau V_F \mathbf{nq}_5) + \mathbf{nq}_6 + \mathbf{nq}_1 (-2 + i\tau V_F (\mathbf{nq}_4 + \mathbf{nq}_6))]}{(1 + i\tau V_F \mathbf{nq}_1) (1 - i\tau V_F \mathbf{nq}_4) (1 + i\tau V_F \mathbf{nq}_5) (1 - i\tau V_F \mathbf{nq}_6)} \right\rangle \times \left\langle \frac{1}{1 - i\tau V_F \mathbf{nq}_2} \frac{1}{1 + i\tau V_F \mathbf{nq}_3} \right\rangle \quad (9)$$

$$h_6^{(4)} = 2\pi\tau^5 V_F^2 \nu_0 \left\langle \mathbf{nn}^\top \frac{-3 + i\tau V_F [-\mathbf{nq}_3 + \mathbf{nq}_4 (2 + i\tau V_F \mathbf{nq}_3) + \mathbf{nq}_2 + \mathbf{nq}_1 (-2 + i\tau V_F (\mathbf{nq}_4 + \mathbf{nq}_2))]}{(1 + i\tau V_F \mathbf{nq}_1) (1 - i\tau V_F \mathbf{nq}_2) (1 + i\tau V_F \mathbf{nq}_3) (1 - i\tau V_F \mathbf{nq}_4)} \right\rangle \times \left\langle \frac{1}{1 - i\tau V_F \mathbf{nq}_6} \frac{1}{1 + i\tau V_F \mathbf{nq}_5} \right\rangle \quad (10)$$

$$h_6^{(5)} = 2\pi\tau^5 V_F^2 \nu_0 \times \left\langle \frac{2 + i\tau V_F \mathbf{n} (\mathbf{q}_3 - \mathbf{q}_6)}{(1 + i\tau V_F \mathbf{nq}_3) (1 - i\tau V_F \mathbf{nq}_6) (1 + i\tau V_F \mathbf{n} (\mathbf{q}_1 + \mathbf{q}_2 + \mathbf{q}_3))} \right\rangle \times \left\langle \frac{1}{1 - i\tau V_F \mathbf{n} (\mathbf{q}_6 + \mathbf{q}_1 + \mathbf{q}_2)} \right\rangle \left\langle \mathbf{n} \frac{1}{1 - i\tau V_F \mathbf{nq}_2} \frac{1}{1 + i\tau V_F \mathbf{nq}_1} \right\rangle \left\langle \mathbf{n}^\top \frac{1}{1 - i\tau V_F \mathbf{nq}_4} \frac{1}{1 + i\tau V_F \mathbf{nq}_5} \right\rangle \quad (11)$$

$$h_6^{(6)} = 2\pi\tau^5 V_F^2 \nu_0 \left\langle \mathbf{n} \frac{1}{1 - i\tau V_F \mathbf{n} \mathbf{q}_2} \frac{1}{1 + i\tau V_F \mathbf{n} \mathbf{q}_1} \right\rangle \left\langle \mathbf{n}^\top \frac{-3 + i\tau V_F [-\mathbf{n} \mathbf{q}_5 + \mathbf{n} \mathbf{q}_6 (2 + i\tau V_F \mathbf{n} \mathbf{q}_5) + \mathbf{n} \mathbf{q}_4 + \mathbf{n} \mathbf{q}_3 (-2 + i\tau V_F (\mathbf{n} \mathbf{q}_4 + \mathbf{n} \mathbf{q}_6))]}{(1 + i\tau V_F \mathbf{n} \mathbf{q}_3) (1 - i\tau V_F \mathbf{n} \mathbf{q}_4) (1 + i\tau V_F \mathbf{n} (\mathbf{q}_3 + \mathbf{q}_4 + \mathbf{q}_5)) (1 - i\tau V_F \mathbf{n} (\mathbf{q}_4 + \mathbf{q}_5 + \mathbf{q}_6))} \right\rangle \quad (12)$$

$$h_6^{(7)} = 2\pi\tau^5 V_F^2 \nu_0 \left\langle \mathbf{n} \frac{-3 + i\tau V_F [-\mathbf{n} \mathbf{q}_1 + \mathbf{n} \mathbf{q}_6 (2 + i\tau V_F \mathbf{n} \mathbf{q}_1) + \mathbf{n} \mathbf{q}_2 + \mathbf{n} \mathbf{q}_3 (-2 + i\tau V_F (\mathbf{n} \mathbf{q}_2 + \mathbf{n} \mathbf{q}_6))]}{(1 + i\tau V_F \mathbf{n} \mathbf{q}_3) (1 - i\tau V_F \mathbf{n} \mathbf{q}_6) (1 + i\tau V_F \mathbf{n} \mathbf{q}_1) (1 - i\tau V_F \mathbf{n} \mathbf{q}_2) (1 + i\tau V_F \mathbf{n} (\mathbf{q}_1 + \mathbf{q}_2 + \mathbf{q}_3)) (1 - i\tau V_F \mathbf{n} (\mathbf{q}_6 + \mathbf{q}_1 + \mathbf{q}_2))} \right\rangle \times \left\langle \mathbf{n}^\top \frac{1}{1 - i\tau V_F \mathbf{n} \mathbf{q}_4} \frac{1}{1 + i\tau V_F \mathbf{n} \mathbf{q}_5} \right\rangle \quad (13)$$

$$h_6^{(8)} = 2\pi\tau^5 V_F^2 \nu_0 \left\langle \frac{1}{1 + i\tau V_F \mathbf{n} \mathbf{q}_5} \frac{1}{1 - i\tau V_F \mathbf{n} \mathbf{q}_6} \right\rangle \left\langle \mathbf{n} \frac{1}{1 + i\tau V_F \mathbf{n} \mathbf{q}_1} \frac{1}{1 - i\tau V_F \mathbf{n} \mathbf{q}_2} \right\rangle \times \left\langle \mathbf{n}^\top \frac{1}{1 + i\tau V_F \mathbf{n} \mathbf{q}_3} \frac{1}{1 - i\tau V_F \mathbf{n} \mathbf{q}_4} \frac{1}{1 - i\tau V_F \mathbf{n} (\mathbf{q}_4 + \mathbf{q}_5 + \mathbf{q}_6)} \right\rangle \quad (14)$$

$$h_6^{(9)} = 2\pi\tau^5 V_F^2 \nu_0 \left\langle \frac{1}{1 + i\tau V_F \mathbf{n} \mathbf{q}_3} \frac{1}{1 - i\tau V_F \mathbf{n} \mathbf{q}_2} \right\rangle \left\langle \mathbf{n} \frac{1}{1 + i\tau V_F \mathbf{n} \mathbf{q}_1} \times \frac{1}{1 - i\tau V_F \mathbf{n} \mathbf{q}_6} \frac{1}{1 + i\tau V_F \mathbf{n} (\mathbf{q}_1 + \mathbf{q}_2 + \mathbf{q}_3)} \right\rangle \left\langle \mathbf{n}^\top \frac{1}{1 + i\tau V_F \mathbf{n} \mathbf{q}_5} \frac{1}{1 - i\tau V_F \mathbf{n} \mathbf{q}_4} \right\rangle \quad (15)$$

Где $\langle \dots \rangle$ - подразумевает усреднение по положениям вектора \mathbf{n} на сфере. Аналогично мы можем записать и выражения на четырехвершинную диаграмму:

$$\mathbf{h}_4^{(A)} = -2\pi i \tau^3 \nu_0 V_F \left\langle \mathbf{n} \frac{2i + \tau V_F \mathbf{n} (\mathbf{q}_2 + \mathbf{q}_4)}{(1 + i\tau V_F \mathbf{n} \mathbf{q}_1) (1 - i\tau V_F \mathbf{n} \mathbf{q}_2) (1 + i\tau V_F \mathbf{n} \mathbf{q}_3) (1 - i\tau V_F \mathbf{n} \mathbf{q}_4)} \right\rangle \quad (16)$$

$$\mathbf{h}_4^{(B)} = -4\pi^2 \nu_0^2 \tau^4 V_F \left\langle \mathbf{n} \frac{1}{1 + i\tau V_F \mathbf{n} \mathbf{q}_1} \frac{1}{1 - i\tau V_F \mathbf{n} \mathbf{q}_2} \right\rangle \left\langle \frac{1}{1 + i\tau V_F \mathbf{n} \mathbf{q}_3} \frac{1}{1 - i\tau V_F \mathbf{n} \mathbf{q}_4} \right\rangle \quad (17)$$

$$\mathbf{h}_4^{(C)} = -4\pi^2 \nu_0^2 \tau^4 V_F \mathbf{n} \left\langle \frac{1}{1 + i\tau V_F \mathbf{n} \mathbf{q}_1} \frac{1}{1 - i\tau V_F \mathbf{n} \mathbf{q}_4} \right\rangle \left\langle \frac{1}{1 + i\tau V_F \mathbf{n} \mathbf{q}_3} \frac{1}{1 - i\tau V_F \mathbf{n} \mathbf{q}_2} \right\rangle \quad (18)$$

Отсюда, в ведущих порядках по малости входящих в Хиками-Боксы импульсах мы можем получить следующие выражения:

$$h_6 = 4\pi \nu_0 \tau^4 D, \quad \mathbf{h}_4^2 = -16\pi^2 \nu_0^2 D^2 \tau^6 \mathbf{q}_3 \mathbf{q}_3^\dagger \quad (19)$$

Заметим, что при дальнейшей работе мы имеем следующие соотношения на импульсы, в которых наши выражения на Боксы заметно упростятся. Для h_6 имеем: $\mathbf{q}_1 = \mathbf{p}$, $\mathbf{q}_2 = -\mathbf{q}$, $\mathbf{q}_3 = -\mathbf{Q}$, $\mathbf{q}_4 = -\mathbf{p}$, $\mathbf{q}_5 = \mathbf{q}$, $\mathbf{q}_6 = \mathbf{Q}$. Тогда полученные нами выражения можно переписать таким образом:

$$H_6^{(1)} = 2\pi \tau^5 V_F^2 \nu_0 \left\langle \mathbf{nn}^\top \frac{6 + 2i\tau V_F \mathbf{n} (\mathbf{p} + \mathbf{q} - \mathbf{Q})}{(1 + iV_F \tau \mathbf{n} \mathbf{p})(1 + iV_F \tau \mathbf{n} \mathbf{q})(1 - iV_F \tau \mathbf{n} \mathbf{Q})(1 + iV_F \tau \mathbf{n} (\mathbf{p} + \mathbf{q} + \mathbf{Q}))} \right. \\ \left. \frac{1}{(1 - iV_F \tau \mathbf{n} (\mathbf{p} + \mathbf{Q} - \mathbf{q}))(1 - iV_F \tau \mathbf{n} (\mathbf{q} + \mathbf{Q} - \mathbf{p}))} \right\rangle \quad (20)$$

$$H_6^{(2)} = 2\pi\tau^5 V_F^2 \nu_0 \left\langle \mathbf{nn}^\top \frac{2}{(1 + i\tau V_F \mathbf{np})(1 + i\tau V_F \mathbf{n}(\mathbf{q} + \mathbf{Q} + \mathbf{p}))(1 - i\tau V_F \mathbf{n}(\mathbf{q} + \mathbf{Q} - \mathbf{p}))} \right\rangle \left\langle \frac{1}{1 - i\tau V_F \mathbf{nQ}} \frac{1}{1 + i\tau V_F \mathbf{nq}} \right\rangle^2 \quad (21)$$

$$H_6^{(3)} = 2\pi\tau^5 V_F^2 \nu_0 \left\langle \mathbf{nn}^\top \frac{-3 + i\tau V_F \mathbf{n}(\mathbf{Q} - \mathbf{q} - \mathbf{p})}{(1 + i\tau V_F \mathbf{np})(1 + i\tau V_F \mathbf{nq})(1 - i\tau V_F \mathbf{nQ})(1 + i\tau V_F \mathbf{n}(\mathbf{q} + \mathbf{p} + \mathbf{Q}))} \right\rangle \times \left\langle \frac{1}{(1 - i\tau V_F \mathbf{n}(\mathbf{q} + \mathbf{Q} - \mathbf{p}))} \right\rangle \times \left\langle \frac{1}{1 + i\tau V_F \mathbf{nq}} \frac{1}{1 - i\tau V_F \mathbf{nQ}} \right\rangle \quad (22)$$

$$H_6^{(4)} = 2\pi\tau^5 V_F^2 \nu_0 \left\langle \mathbf{nn}^\top \frac{-3 + i\tau V_F \mathbf{n}(\mathbf{Q} - \mathbf{q} - \mathbf{p})}{(1 + i\tau V_F \mathbf{np})(1 + i\tau V_F \mathbf{nq})(1 - i\tau V_F \mathbf{nQ})(1 + i\tau V_F \mathbf{n}(\mathbf{q} + \mathbf{p} + \mathbf{Q}))} \right\rangle \times \left\langle \frac{1}{(1 - i\tau V_F \mathbf{n}(\mathbf{q} + \mathbf{Q} - \mathbf{p}))} \right\rangle \times \left\langle \frac{1}{1 + i\tau V_F \mathbf{nq}} \frac{1}{1 - i\tau V_F \mathbf{nQ}} \right\rangle \quad (23)$$

Откуда сразу видим, что $H_6^{(3)} = H_6^{(4)}$. Продолжая далее:

$$H_6^{(5)} = 2\pi\tau^5 V_F^2 \nu_0 \left\langle \frac{2}{(1 - i\tau V_F \mathbf{nQ})(1 - i\tau V_F \mathbf{n}(\mathbf{q} + \mathbf{Q} - \mathbf{p}))(1 - i\tau V_F \mathbf{n}(\mathbf{p} + \mathbf{Q} - \mathbf{q}))} \right\rangle \left\langle \mathbf{n} \frac{1}{1 + i\tau V_F \mathbf{np}} \frac{1}{1 + i\tau V_F \mathbf{nq}} \right\rangle \left\langle \mathbf{n}^\top \frac{1}{1 + i\tau V_F \mathbf{np}} \frac{1}{1 + i\tau V_F \mathbf{nq}} \right\rangle \quad (24)$$

$$\begin{aligned}
 H_6^{(6)} &= 2\pi\tau^5 V_F^2 \nu_0 \left\langle \mathbf{n} \frac{1}{1+i\tau V_F \mathbf{n} \mathbf{q}} \frac{1}{1+i\tau V_F \mathbf{n} \mathbf{p}} \right\rangle \times \\
 &\times \left\langle \mathbf{n}^\top \frac{-3+i\tau V_F \mathbf{n} (\mathbf{Q}-\mathbf{q}-\mathbf{p})}{(1+i\tau V_F \mathbf{n} \mathbf{p})(1+i\tau V_F \mathbf{n} \mathbf{q})(1-i\tau V_F \mathbf{n} \mathbf{Q})^2 (1-i\tau V_F \mathbf{n} (\mathbf{p}+\mathbf{Q}-\mathbf{q}))} \right. \\
 &\left. \frac{1}{(1-i\tau V_F \mathbf{n} (\mathbf{q}+\mathbf{Q}-\mathbf{p}))} \right\rangle
 \end{aligned} \tag{25}$$

$$\begin{aligned}
 H_6^{(7)} &= 2\pi\tau^5 V_F^2 \nu_0 \times \\
 &\left\langle \mathbf{n} \frac{-3+i\tau V_F \mathbf{n} (\mathbf{Q}-\mathbf{q}-\mathbf{p})}{(1+i\tau V_F \mathbf{n} \mathbf{p})(1+i\tau V_F \mathbf{n} \mathbf{q})(1-i\tau V_F \mathbf{n} \mathbf{Q})(1-i\tau V_F \mathbf{n} (\mathbf{p}+\mathbf{Q}-\mathbf{q}))(1-i\tau V_F \mathbf{n} (\mathbf{q}+\mathbf{Q}-\mathbf{p}))} \right\rangle \times \\
 &\left\langle \mathbf{n}^\top \frac{1}{1+i\tau V_F \mathbf{n} \mathbf{q}} \frac{1}{1+i\tau V_F \mathbf{n} \mathbf{p}} \right\rangle
 \end{aligned} \tag{26}$$

$$\begin{aligned}
 H_6^{(8)} &= 2\pi\tau^5 V_F^2 \nu_0 \left\langle \frac{1}{1+i\tau V_F \mathbf{n} \mathbf{q}} \frac{1}{1-i\tau V_F \mathbf{n} \mathbf{Q}} \right\rangle \left\langle \mathbf{n} \frac{1}{1+i\tau V_F \mathbf{n} \mathbf{p}} \frac{1}{1+i\tau V_F \mathbf{n} \mathbf{q}} \right\rangle \times \\
 &\times \left\langle \mathbf{n}^\top \frac{1}{1+i\tau V_F \mathbf{n} \mathbf{p}} \frac{1}{1-i\tau V_F \mathbf{n} \mathbf{Q}} \frac{1}{1-i\tau V_F \mathbf{n} (\mathbf{Q}+\mathbf{q}-\mathbf{p})} \right\rangle
 \end{aligned} \tag{27}$$

$$\begin{aligned}
 H_6^{(9)} &= 2\pi\tau^5 V_F^2 \nu_0 \left\langle \frac{1}{1+i\tau V_F \mathbf{n} \mathbf{q}} \frac{1}{1-i\tau V_F \mathbf{n} \mathbf{Q}} \right\rangle \left\langle \mathbf{n} \frac{1}{1+i\tau V_F \mathbf{n} \mathbf{p}} \frac{1}{1-i\tau V_F \mathbf{n} \mathbf{Q}} \frac{1}{1-i\tau V_F \mathbf{n} (\mathbf{Q}+\mathbf{q}-\mathbf{p})} \right\rangle \times \\
 &\times \left\langle \mathbf{n}^\top \frac{1}{1+i\tau V_F \mathbf{n} \mathbf{p}} \frac{1}{1+i\tau V_F \mathbf{n} \mathbf{q}} \right\rangle
 \end{aligned} \tag{28}$$

Откуда, в частности, получаем, что $H_6^{(8)} = H_6^{(9)\top}$
 Теперь, полагая, что $\mathbf{h}_4(\mathbf{q}, \mathbf{Q}, \mathbf{p})$ это \mathbf{h}_4 с $\mathbf{q}_1 = \mathbf{p}$, $\mathbf{q}_2 = -\mathbf{q}$, $\mathbf{q}_3 = \mathbf{q} + \mathbf{Q} - \mathbf{p}$, $\mathbf{q}_4 =$

– \mathbf{Q} , перепишем четырехвершинные диаграммы для \mathbf{h}_4 .

$$\mathbf{h}_4^{(A)} = -2\pi i\tau^3\nu_0 V_F \left\langle \mathbf{n} \frac{2i - \tau V_F \mathbf{n}(\mathbf{q} + \mathbf{Q})}{(1 + i\tau V_F \mathbf{n}\mathbf{p})(1 + i\tau V_F \mathbf{n}\mathbf{q})(1 + i\tau V_F \mathbf{n}(\mathbf{Q} + \mathbf{q} - \mathbf{p}))(1 + i\tau V_F \mathbf{n}\mathbf{Q})} \right\rangle \quad (29)$$

$$\mathbf{h}_4^{(B)} = -2\pi\tau^3\nu_0 V_F \left\langle \mathbf{n} \frac{1}{1 + i\tau V_F \mathbf{n}\mathbf{p}} \frac{1}{1 + i\tau V_F \mathbf{n}\mathbf{q}} \right\rangle \left\langle \frac{1}{1 + i\tau V_F \mathbf{n}(\mathbf{Q} + \mathbf{q} - \mathbf{p})} \frac{1}{1 + i\tau V_F \mathbf{n}\mathbf{Q}} \right\rangle \quad (30)$$

$$\mathbf{h}_4^{(C)} = -2\pi\tau^3\nu_0 V_F \left\langle \mathbf{n} \frac{1}{1 + i\tau V_F \mathbf{n}\mathbf{p}} \frac{1}{1 + i\tau V_F \mathbf{n}\mathbf{Q}} \right\rangle \left\langle \frac{1}{1 + i\tau V_F \mathbf{n}(\mathbf{Q} + \mathbf{q} - \mathbf{p})} \frac{1}{1 + i\tau V_F \mathbf{n}\mathbf{q}} \right\rangle \quad (31)$$

Откуда, аналогично тому, как мы действовали первоначально, можно получить, что в ведущих порядках:

$$h_6 = 4\pi\nu_0\tau^4 D, \quad \mathbf{h}_4^2 = -16\pi^2\nu_0^2 D^2 \tau^6 (\mathbf{q} + \mathbf{Q})(\mathbf{q} + \mathbf{Q})^\dagger \quad (32)$$

4 Поправка к проводимости на $\mathbf{p} = 0$

Теперь считаем поправку к проводимости на нулевом векторе p . Используя формулу выше, мы можем получить:

$$\begin{aligned} \sigma^{(2)}(\mathbf{0}) &= \frac{1}{2\pi} \int_{(\mathbf{q})} \int_{(\mathbf{Q})} \left(\frac{1}{2\pi\nu\tau^2} \right)^2 \frac{1}{Dq^2 + \omega} \frac{1}{DQ^2 + \omega} \left[4\pi\nu\tau^4 D - \frac{1}{2\pi\nu\tau^2} \frac{1}{d} \frac{16\pi^2\nu_0^2 D^2 \tau^6 (\mathbf{q} + \mathbf{Q})^2}{D(\mathbf{Q} + \mathbf{q})^2 + \omega} \right] = \\ &= \frac{D}{2\pi^2\nu} \int_{(\mathbf{q})} \int_{(\mathbf{Q})} \frac{1}{Dq^2 + \omega} \frac{1}{DQ^2 + \omega} \left[1 - \frac{1}{d} \frac{2D(\mathbf{q} + \mathbf{Q})^2}{D(\mathbf{Q} + \mathbf{q})^2 + \omega} \right] = \\ &= \frac{D^{1-d}\omega^{d-2}}{2\pi^2\nu} \int_{\mathbf{x}} \int_{\mathbf{y}} \frac{1}{x^2 + 1} \frac{1}{y^2 + 1} \left[1 - \frac{1}{d} \frac{2(\mathbf{x} + \mathbf{y})^2}{(\mathbf{x} + \mathbf{y})^2 + 1} \right] = \frac{D^{1-d}\omega^{d-2}}{2\pi^2\nu} I_d, \end{aligned} \quad (33)$$

где

$$\begin{aligned} I_d &= \int_{\mathbf{x}} \int_{\mathbf{y}} \frac{1}{x^2 + 1} \frac{1}{y^2 + 1} \left[1 - \frac{1}{d} \frac{2(\mathbf{x} + \mathbf{y})^2}{(\mathbf{x} + \mathbf{y})^2 + 1} \right] = \frac{2}{d} \int_{\mathbf{x}} \int_{\mathbf{y}} \frac{1}{x^2 + 1} \frac{1}{y^2 + 1} \left[\frac{d}{2} - 1 + \frac{1}{(\mathbf{x} + \mathbf{y})^2 + 1} \right] = \\ &= I_d^{(1)} + I_d^{(2)} \end{aligned} \quad (34)$$

Заметим, что I_d сходится при $d < 2$. Однако имеет расходимость при $d \rightarrow 2$. Посчитаем этот интегралы в произвольной размерности и получим пространственную расходимость выражения:

$$\begin{aligned} \iint_{(\mathbf{x})(\mathbf{y})} \frac{1}{1+x^2} \frac{1}{1+y^2} &= \left(\int_{(\mathbf{x})} \frac{1}{1+x^2} \right)^2 = \left(\int_0^{+\infty} dt \int_{(\mathbf{x})} e^{-t(1+x^2)} \right)^2 = \\ &= \left(\int_0^{+\infty} dt e^{-t} \frac{\pi^{d/2}}{t^{d/2}} \frac{1}{(2\pi)^d} \right)^2 = \frac{\Gamma^2(1-\frac{d}{2})}{(4\pi)^d} = /d = 2 - \epsilon / = \frac{\Gamma^2(\frac{\epsilon}{2})}{(4\pi)^d} \xrightarrow{\epsilon \rightarrow 0} \frac{4}{(4\pi)^2} \frac{1}{\epsilon^2} \end{aligned} \quad (35)$$

Тогда, учитывая все числовые коэффициенты, получим, что:

$$I_{d=2-\epsilon}^{(1)} \xrightarrow{\epsilon \rightarrow 0+} \frac{1}{8\pi^2} \frac{1}{\epsilon} \Big|_{\epsilon \rightarrow 0} \quad (36)$$

Получаем расходящийся член.

Теперь перейдем к вычислению второго интеграла. В начале перепишем его через параметризацию Фейнмана:

$$\begin{aligned} I_3 &= \iint_{\mathbb{R}^{2d}} \frac{1}{1+x^2} \frac{1}{1+y^2} \frac{1}{1+(\mathbf{x}+\mathbf{y})^2} = \\ &= \int_0^1 da \int_0^{1-a} db \iint_{(\mathbb{R}^{2d})} \frac{2}{(a(1+x^2) + b(1+y^2) + (1-a-b)(1+(\mathbf{x}+\mathbf{y})^2))^3} = \\ &= \int_0^1 da \int_0^{1-a} db \iint_{(\mathbb{R}^{2d})} \frac{2}{(1+(1-b)x^2 + (1-a)y^2 + 2(1-a-b)\mathbf{xy})^3} \end{aligned} \quad (37)$$

Далее диагонализуем квадратичную форму в знаменателе подынтегральной функции линейной сдвижкой переменных:

$$\begin{aligned} 1 + (1-b)x^2 + (1-a)y^2 + 2(1-a-b)\mathbf{xy} &= 1 + \left[(1-b)x^2 + 2(1-a-b)\mathbf{xy} + \frac{(1-a-b)^2}{1-b}y^2 \right] + \\ &+ \left[(1-a) - \frac{(1-a-b)^2}{1-b} \right] y^2 = 1 + \left(\sqrt{1-b}\mathbf{x} + \frac{1-a-b}{\sqrt{y}} \right)^2 + \left([1-a] - \frac{(1-a-b)^2}{1-b} \right) y^2, \\ \mathbf{z} = \sqrt{1-b}\mathbf{x} + \frac{1-a-b}{\sqrt{1-b}}\mathbf{y}, \quad (\mathbf{x}, \mathbf{y}) \rightarrow (\mathbf{z}, \mathbf{y}), \quad J &= \left| \det \left(\frac{\partial x_i^{\text{old}}}{\partial x_j^{\text{new}}} \right) \right| = \left| \det \left(\frac{\partial(\mathbf{x}, \mathbf{y})}{\partial(\mathbf{z}, \mathbf{y})} \right) \right| = \frac{1}{(1-b)^{d/2}} \end{aligned} \quad (38)$$

Тогда сделаем замену:

$$\beta = (1 - a) - \frac{(1 - a - b)^2}{1 - b} \geq 0 \quad (39)$$

И перепишем интеграл:

$$\int_0^1 da \int_0^{1-a} db \iint_{\mathbb{R}^{2d}} \frac{1}{(1 - b)^{d/2}} \frac{2}{[1 + z^2 + \beta y^2]^3} \quad (40)$$

Для начала возьмем интеграл по векторам, вводя параметр δ , по которому мы будем дифференцировать выражение, а затем стремиться его к 0.

$$\begin{aligned} \iint_{\mathbb{R}^{2d}} \frac{2}{[1 + z^2 + \beta y^2]^3} &= \partial_\delta^2 \iint_{\mathbb{R}^{2d}} \frac{1}{1 + z^2 + \beta y^2 + \delta} \Big|_{\delta \rightarrow 0} = \\ &= \partial_\delta^2 \int_0^{+\infty} dt \iint_{\mathbb{R}^{2d}} \exp[-t(1 + z^2 + \beta y^2 + \delta)] = \partial_\delta^2 \int_0^{+\infty} dt \frac{1}{\beta^{d/2}} \frac{\pi^d}{t^d} e^{-t(1+\delta)} \Big|_{\delta \rightarrow 0} = \\ &= \frac{\pi^d}{\beta^{d/2}} \int_0^{+\infty} t^{-d+2} e^{-t} dt = \frac{\pi^d}{\beta^{d/2}} \Gamma(3 - d) \end{aligned} \quad (41)$$

Итого имеем двумерный интеграл:

$$\int_0^1 da \int_0^{1-a} db \frac{1}{(2\pi)^{2d}} \pi^d \Gamma(3 - d) \frac{1}{[(1 - b)(a + b) - a^2]^{d/2}} \quad (42)$$

Взять его весьма трудная задача, потому попробуем свести к одномерному. Заметим, что так как интеграл симметричен относительно перестановки a, b , весьма логично сделать замену координат:

$$\begin{cases} u = a + b \\ v = a - b \end{cases} \Rightarrow \begin{cases} a = \frac{u+v}{2} \\ b = \frac{u-v}{2} \end{cases} \Rightarrow J = \left| \det \left(\frac{\partial(a, b)}{\partial(u, v)} \right) \right| = \frac{1}{2} \quad (43)$$

Тогда получаем:

$$\begin{aligned} \frac{\Gamma(3 - d)}{(4\pi)^d} \frac{1}{2} \int_0^1 du \int_{-u}^u dv \frac{1}{[(u - u^2 + \frac{u^2}{4}) - \frac{v^2}{4}]^{d/2}} = \\ = \frac{\Gamma(3 - d)}{(4\pi)^d} \int_0^1 du u \left(u - u^2 + \frac{u^2}{4} \right)^{-d/2} {}_2F_1 \left[\frac{1}{2}, \frac{d}{2}, \frac{3}{2}; \frac{u^2}{4(u - u^2) + u^2} \right] \end{aligned} \quad (44)$$

Итого мы свели интеграл к одномерному, его можно взять в интересующей нас размерности 2 и получить конечные результат, который не интересует нас

в заданной размерности. Тем не менее, этот интеграл прекрасно подходит для использования при вычислении поправки в размерностях $d < 2$.

Итого, учитывая размерные коэффициенты в предел $d \rightarrow 2 - 0$, а также пренебрегая расходящимися членами, мы можем провести размерную регуляризацию и получить:

$$-\frac{1}{16\pi^4 D\nu} \left(\frac{\omega^{-\epsilon}}{\epsilon} \right) \rightarrow \frac{1}{16\pi^4 D\nu} \log \omega \quad (45)$$

Далее, дабы обезразмерить выражение под логарифмом, домножим его на $((l^2/D)^{-\epsilon})$. Этот множитель является размерной поправкой, что не меняет значения выражения в заданном пределе. Притом входящее в итоговое выражение соотношение является отношением длины свободного пробега $l = v_F \tau$ и характеристической диффузионной длины L_C . В итоге имеем:

$$\frac{1}{8\pi^4 D\nu} \log \gamma, \quad \gamma = \frac{l}{L_c}; \quad L_c = \sqrt{D/\omega} \quad (46)$$

Таким образом, получаем:

$$\sigma^{(d \rightarrow 2 - 0)} = \frac{1}{8\pi^4 D\nu} \log \gamma \quad (47)$$

5 Поправка к проводимости на конечном \mathbf{p}

Так как в данной работе нас интересует квадратичная по \mathbf{p} коррекция к поправке к проводимости, разложим указанные выше выражения на Хиками-Боксы до нужного нам порядка, выделяя только расходящиеся члены, а далее усредним полученные выражения по углам, пользуясь данными выражениями для усреднений по положению на сфере вектора \mathbf{n} :

$$\langle n_i n_j \rangle = \frac{1}{d} \delta_{ij}, \quad \langle n_i n_j n_k n_l \rangle = \frac{1}{d(d+2)} (\delta_{ij} \delta_{kl} + \delta_{ik} \delta_{jl} + \delta_{il} \delta_{jk}) \quad (48)$$

Начнем с разложения h_6 .

$$\sigma_6 = \frac{1}{2\pi} \int_{\mathbf{q}} \int_{\mathbf{Q}} \left(\frac{1}{2\pi\nu\tau^2} \right)^2 \frac{1}{Dq^2 + \omega} \frac{1}{DQ^2 + \omega} h_6(\mathbf{q}, \mathbf{Q}, \mathbf{p}) \quad (49)$$

Запишем выражения на соответствующие диаграммы на Рисунке 2, предварительно вынося общий множитель $2\pi\tau^5 V_F^2 \nu_0$. Причем заметим, что для h_6

мы можем положить бегущие по диффузорам импульсы нулевыми, так как именно в этой области будет набираться интеграл при последующем интегрировании h_6 . Таким образом, получим:

1. Для h_6^1 мы имеем выражение:

$$\frac{6}{d}\delta_{ij} - \frac{20l^2}{d(d+2)}(p^2\delta_{ij} + 2p_i p_j) \quad (50)$$

2. Для h_6^2 мы имеем выражение:

$$\frac{2}{d}\delta_{ij} - \frac{12l^2}{d(d+2)}(p^2\delta_{ij} + 2p_i p_j) \quad (51)$$

3. Для h_6^3 мы имеем выражение:

$$-\frac{3}{d}\delta_{ij} + \frac{15l^2}{d(d+2)}(p^2\delta_{ij} + 2p_i p_j) \quad (52)$$

4. Для h_6^4 мы имеем выражение:

$$-\frac{3}{d}\delta_{ij} + \frac{15l^2}{d(d+2)}(p^2\delta_{ij} + 2p_i p_j) \quad (53)$$

5. Для h_6^5 мы имеем выражение:

$$-\frac{2l^2 p_i p_j}{d^2} \quad (54)$$

6. Для h_6^6 мы имеем выражение:

$$\frac{2l^2 p_i p_j}{d^2} \quad (55)$$

7. Для h_6^7 мы имеем выражение:

$$\frac{2l^2 p_i p_j}{d^2} \quad (56)$$

8. Для h_6^8 мы имеем выражение:

$$-\frac{2l^2 p_i p_j}{d^2} \quad (57)$$

9. Для h_6^9 мы имеем выражение:

$$-\frac{2l^2 p_i p_j}{d^2} \quad (58)$$

Итоговое выражение на разложение h_6 при $\mathbf{q}, \mathbf{Q} = 0$ будет иметь вид:

$$2\pi\tau^5 V_F^2 \nu_0 \left(\frac{2}{d} - \frac{l^2 (2dp^2 \delta_{ij} + 2(2+3d)p_i p_j)}{d^2(2+d)} \right) \quad (59)$$

Сразу отметим, что полученно выражение согласуется с посчитанным ранее выражением на $\mathbf{p} = 0$.

Теперь перейдем к аналогичному вычислению для второй диаграммы, где мы аналогичным образом будем проводить вычисления за одним исключением - в данном случае положить нулевыми импульсы, бегущие по диффузорам, мы уже не можем.

$$\sigma_4^{(2)} = \frac{1}{2\pi} \int_{\mathbf{q}} \int_{\mathbf{Q}} \left(\frac{1}{2\pi\nu\tau^2} \right)^3 \frac{1}{Dq^2 + \omega} \frac{1}{DQ^2 + \omega} \frac{1}{D(\mathbf{Q} + \mathbf{q})^2 + \omega} h_4(\mathbf{q}, \mathbf{Q}, \mathbf{p}) h_4^\dagger(-\mathbf{Q}, -\mathbf{q}, -\mathbf{p}) \quad (60)$$

В начале посчитаем полный вектор \mathbf{h}_4 , а потом получим произведение векторов. Запишем выражение на составляющие вектора (с точностью до множителя вида $2\pi\tau^3\nu_0 V_F$):

$$h_4^{(A)}{}_i = -i \left(l(q_i + Q_i) 3/d + \frac{5l^3}{d(d+2)} (p_i(\mathbf{q} + \mathbf{Q})(-\mathbf{p} + \mathbf{q} + \mathbf{Q}) + (q_i + Q_i) \mathbf{p}(-\mathbf{p} + \mathbf{q} + \mathbf{Q}) + (-p_i + q_i + Q_i) \mathbf{p}(\mathbf{q} + \mathbf{Q})) \right) \quad (61)$$

$$h_4^{(B)}{}_i = il \frac{(p_i + q_i)}{d} - \frac{1}{d^2(2+d)} (il^3 (p_i (2(1+d)q^2 + 3(2+d)\mathbf{q} \cdot \mathbf{Q} + 3(2+d)Q^2) + -\mathbf{p}(4\mathbf{q} + 3(2+d)\mathbf{Q})(p_i + q_i)d^2(2+d)) \quad (62)$$

$$h_4^{(C)}{}_i = il \frac{(p_i + Q_i)}{d} - \frac{1}{d^2(2+d)} (il^3 (p_i (2(1+d)Q^2 + 3(2+d)\mathbf{q} \cdot \mathbf{Q} + 3(2+d)q^2) + +2(1+d)p^2 Q_i - \mathbf{p}(4\mathbf{Q} + 3(2+d)\mathbf{q})(p_i + Q_i)) \quad (63)$$

Если мы сложим эти векторы и посчитаем $h_4^i(\mathbf{q}, \mathbf{Q}, p)h_4^j(-\mathbf{Q}, -\mathbf{q}, -\mathbf{p})$, то получим:

$$\begin{aligned}
 & 4 \pi^2 \tau^6 \nu_0^2 V_F^2 \left(-\frac{4l^2(p_i - q_i - Q_i)(p_j - q_j - Q_j)}{d^2} + \right. \\
 & + \frac{1}{d^3(2+d)} 2l^4 (\mathbf{p}(((6+23d)\mathbf{q} + 4(\mathbf{Q} + 5d\mathbf{Q}))q_i p_j + (4(1+5d)\mathbf{q} + (6+23d)\mathbf{Q})Q_i p_j + \\
 & + 2(-2+3d)\mathbf{p}(q_i + Q_i)(q_j + Q_j)) + p_i (4p_j ((4+5d)q^2 + 2(3+4d)\mathbf{q} \cdot \mathbf{Q} + (4+5d)Q^2) + \\
 & + \mathbf{p}((6+23d)\mathbf{q}q_j + 4(1+5d)\mathbf{Q}q_j + (6+23d)\mathbf{Q}Q_j + 4\mathbf{q}(Q_j + 5dQ_j)))) \\
 & \left. \right) \tag{64}
 \end{aligned}$$

Опять же, можно заметить, что при $\mathbf{p} = 0$ мы получаем указанное выше выражение на диаграмму.

Теперь мы готовы интегрировать выражение по импульсам в диффузонах. Сразу отмечу, что в последующих вычислениях я буду работать только с еще не посчитанными выражениями, то есть теми, что зануляются при $\mathbf{p} = 0$.

Для начала, опять же, поработаем с диаграммой с h_6 . Для получения поправки из данной диаграммы мы можем заметить, что нам необходимо взять лишь один четырехмерный интеграл, а именно:

$$\iint_{(Q)(\mathbf{q})} \frac{1}{Dq^2 + \omega} \frac{1}{DQ^2 + \omega} \tag{65}$$

Формально, мы уже работали с похожим интегралом с помощью размерной регуляризации. Однако сейчас мы будем работать с ним другим способом, используя логарифмическую обрезку на $q = l^{-1}$:

$$\iint_{(Q)(\mathbf{q})} \frac{1}{Dq^2 + \omega} \frac{1}{DQ^2 + \omega} = \left(\int_{(\mathbf{q})} \frac{1}{Dq^2 + \omega} \right)^2 = \left(\frac{1}{2\pi} \int_0^{t^{-1}} \frac{qdq}{\partial q^2 + \omega} \right)^2 = \frac{1}{D^2} \frac{1}{4\pi^2} \log^2 \gamma \tag{66}$$

Соответственно, данная диаграмма несет квадратичную поправку по \mathbf{p} вида:

$$-\frac{l^2 \log^2 \omega}{128\pi^4 D\nu_0} (p^2 \delta_{ij} + 4p_i p_j) \tag{67}$$

Или же, сводя ответ к безразмерному параметру γ , можем получить:

$$-\frac{l^2 \log^2 \gamma}{32\pi^4 D\nu_0} (p^2 \delta_{ij} + 4p_i p_j) \tag{68}$$

Теперь перейдем к вычислению верхней диаграммы Рисунка 3. Можно заметить, что вычисление интегралов по импульсам после обезразмеривания сводится к вычислению следующих интегралов:

1.

$$I_1 = \iint_{(\mathbf{x})(\mathbf{y})} \frac{1}{1+x^2} \frac{1}{1+y^2} \quad (69)$$

Данный интеграл был посчитан выше.

2.

$$I_2 = \int_{(\mathbf{x})(\mathbf{y})} \frac{1}{1+x^2} \frac{1}{1+(\mathbf{x}+\mathbf{y})^2} = I_1 \quad (70)$$

Данный интеграл несложно берется, но еще легче заметить, что заменой $\mathbf{x}' = \mathbf{x} - \mathbf{y}$ данный интеграл сводится к I_1

3.

$$I_3 = \int_{(\mathbf{x})} \int_{(\mathbf{y})} \frac{1}{1+x^2} \frac{1}{1+y^2} \frac{1}{1+(\mathbf{x}+\mathbf{y})^2} \ll I_1 \quad (71)$$

Данный интеграл был нами посчитан ранее, и, как мы помним, давал конечное значение при $d = 2 - 0$, потому не интересует нас в задаче.

4.

$$I_4 = \int_{(\mathbf{x}(5))} \int_{(5)} \frac{1}{1+x^2} \frac{1}{1+y^2} \frac{1}{1+(\mathbf{x}+\mathbf{y})^2} x^2 = I_1 \quad (72)$$

Легко заметить, что данный интеграл сводится к I_2 и I_3 , а именно $I_4 = I_2 - I_3 = I_2 = I_1$, где последний переход получен в силу параметрической малости I_3 по отношению к I_2 .

5.

$$I_5 = \int_{(\mathbf{x})} \int_{(\mathbf{y})} \frac{1}{1+x^2} \frac{1}{1+y^2} \frac{1}{1+(\mathbf{x}+\mathbf{y})^2} \mathbf{x} \cdot \mathbf{y} = -\frac{1}{2} I_1 \quad (73)$$

Проведем преобразования, аналогичные приведенным с предыдущим интегралом: $I_5 = \frac{1}{2}(I_1 - I_3 - 2I_2) = \frac{1}{2}(I_3 - I_1) = -\frac{1}{2} I_1$.

6.

$$I_6 = \int_{(\mathbf{x})(\mathbf{y})} \int_1 \frac{1}{1+x^2} \frac{1}{1+y^2} \frac{1}{1+(\mathbf{x}+\mathbf{y})^2} \mathbf{x} \mathbf{x}^\top = \hat{1} I_1 \quad (74)$$

Покажем это проведя чуть более хитрое рассуждение: интеграл I_6 является матрицей, след которой легко посчитать - интегрирование и взятие следа коммутируют как линейные операторы, потому:

$$\begin{aligned} \text{Trace}(I_6) &= \text{Trace} \left(\int_{(\mathbf{x})(\mathbf{y})} \int_1 \frac{1}{1+x^2} \frac{1}{1+y^2} \frac{1}{1+(\mathbf{x}+\mathbf{y})^2} \mathbf{x}\mathbf{x}^\top \right) = \\ &= \text{Trace}(I_6) = \int_{(\mathbf{x})(\mathbf{y})} \int_1 \frac{1}{1+x^2} \frac{1}{1+y^2} \frac{1}{1+(\mathbf{x}+\mathbf{y})^2} \text{Trace}(\mathbf{x}\mathbf{x}^\top) = I_4 \end{aligned} \quad (75)$$

Притом обратим внимание на тот факт, что I_6 является симметричным тензором и притом не зависит ни от каких тензорных параметров. Следовательно, он должен выражаться через инвариантный симметричный тензор евклидова пространства второго ранга - то есть через тензор Кронекера δ_{ij} . Таким образом, при интегрировании все недиагональные компоненты подынтегрального выражения I_6 зануляются. Потому, в силу полученного свойства следа I_6 и его пропорциональности δ_{ij} , мы можем получить, что $I_6 = \frac{\hat{1}}{d} I_1$

7.

$$I_7 = \int_{(\mathbf{x})} \int_{(\mathbf{y})} \frac{1}{1+x^2} \frac{1}{1+y^2} \frac{1}{1+(\mathbf{x}+\mathbf{y})^2} \mathbf{x}\mathbf{y}^\top = -\frac{\hat{1}}{2d} I_1 \quad (76)$$

Проводя абсолютно аналогичные вышесказанным рассуждения, мы можем получить указанно соотношение.

8.

$$I_8 = \int_{(\mathbf{x})} \int_{(\mathbf{y})} \frac{1}{1+x^2} \frac{1}{1+y^2} \frac{1}{1+(\mathbf{x}+\mathbf{y})^2} (\mathbf{x}+\mathbf{y}) = 0 \quad (77)$$

Аналогично пункту 6 наш интеграл должен быть пропорционален инвариантному вектору евклидова пространства, то есть 0.

Данные утверждения позволяют свести задачу к вычислению всего одного интеграла и выражению диаграммы через сумму линейных слагаемых с коэффициентами, получаемых через свойства интегралов, указанные выше. Таким образом, можем получить:

$$\frac{l^2 \log^2 \omega}{64\pi^4 D\nu_0} (p^2 \delta_{ij} + 32p_i p_j) \sim \frac{l^2 \log^2 \gamma}{16\pi^4 D\nu_0} (p^2 \delta_{ij} + 32p_i p_j) \quad (78)$$

Откуда получаем суммарную квадратичную по p поправку:

$$\frac{l^2 \log^2 \omega}{128\pi^4 D\nu_0} (p^2 \delta_{ij} + 60p_i p_j) \sim \frac{l^2 \log^2 \gamma}{32\pi^4 D\nu_0} (p^2 \delta_{ij} + 60p_i p_j) \quad (79)$$

6 Итоговые результаты и вывод:

$$\delta\sigma_{ij}^{(2)} = \frac{1}{8\pi^4 D\nu_0} \log \gamma \delta_{ij} + \frac{l^2 \log^2 \gamma}{32\pi^4 D\nu_0} (p^2 \delta_{ij} + 60p_i p_j) + o(p^2), \quad \gamma = \frac{l}{L_c}, \quad L_c = \sqrt{\frac{D}{\omega}} \quad (80)$$

Таким образом нами была посчитана квадратичная по \mathbf{p} коррекция к уже известной поправке к расходимости. Данный результат можно рассматривать как поправку к известной формуле Друде и коррекцию к главной квантовой поправке к проводимости, которая имеет вид:

$$\delta\sigma_{0ij} = -\frac{1}{2\pi^2} \log\left(\frac{1}{\omega\tau}\right) \delta_{ij} \sim \frac{1}{\pi^2} \log(\gamma) \delta_{ij} \quad (81)$$

Данное явление известно как явление слабой локализации (впервые было рассмотрено в (3)), что сообщает нам о локализации электронных состояний при $T = 0$, а также о неприменимости применения теории кинетического уравнения при $t \geq \tau \exp(p_F l)$.

Заметим, что полученная в данной работе поправка к проводимости на $p = 0$ много меньше главной поправки к проводимости примерно в $E_F \tau$ раз, в то время как суммарная поправка на нулевом p будет иметь общий расходящийся префактор вида $\log(\gamma)$. В это же время квадратичный по \mathbf{p} член имеет большую расходимость по ω вида $\log^2(\omega)$. Формально это означает то, что у нас появляется критерий применимости нашей теории для возможных значений импульса вида: $p \leq \sqrt{\frac{p_F}{\log(\gamma)l}}$, так как при $p \approx \sqrt{\frac{p_F}{\log(\gamma)l}}$ ведущая квантовая поправка сравнивается с квадратично по импульсу, полученной в этой работе.

Список литературы

- [1] Ostrovsky, Pavel Nakayama, Tomoyuki Muttalib, Khandker Woelfle, Peter.. Scale-dependent correction to the dynamical conductivity of a disordered system at unitary symmetry. *New Journal of Physics*. **15**, 5 (2012).
- [2] S. Hikami, in *Anderson Localization*, Eds. H. Nagaoka and H. Fukuyama, Springer, Berlin (1982); *Phys. Rev. B* **24**, 2671 (1981).
- [3] P. Gor'kov, A. Larkin, D. E. Khmel'nitskii. *Particle Conductivity in a Two-Dimensional Random Potential*. *JETP Lett.* **30**, 228 (1979)